



## پیش‌نگری دمای کمینه و بیشینه مناطق سردسیر ایران با استفاده از مدل مقیاس‌کاهی آماری (SDSM)

آذر زرین<sup>۱\*</sup>، دینا یزدانی<sup>۲</sup>، عباسعلی داداشی رودباری<sup>۲</sup>

<sup>۱</sup>دانشیار اقلیم‌شناسی، گروه جغرافیا، دانشگاه فردوسی مشهد

<sup>۲</sup>دانشجوی کارشناسی اقلیم‌شناسی، گروه جغرافیا، دانشگاه فردوسی مشهد

<sup>۳</sup>پژوهشگر پسادکتری اقلیم‌شناسی، گروه جغرافیا، دانشگاه فردوسی مشهد

تاریخ دریافت: ۱۴۰۱/۲/۱۶؛ تاریخ پذیرش: ۱۴۰۱/۳/۱۶

### چکیده

تغییر اقلیم به دنبال گرمایش جهانی در دهه‌های اخیر تأثیر زیادی در مناطق مختلف بهمراه داشته است. جهت پیش‌نگری دمای کمینه و بیشینه مناطق سردسیر ایران از داده‌های ۲۸ ایستگاه همدید کشور و برونداد مدل CanESM2 از سری مدل‌های CMIP5 استفاده شد. مقیاس‌کاهی با مدل آماری SDSM طی دوره تاریخی (۱۹۹۱-۲۰۰۵) و پنج دوره آینده (۲۰۲۶-۲۰۴۰، ۲۰۴۱-۲۰۵۵، ۲۰۵۶-۲۰۷۰، ۲۰۷۱-۲۰۸۵، ۲۰۸۶-۲۱۰۰)، تحت سه سناریوی خوشبینانه (RCP2.6)، حدواسط (RCP4.5) و بدینانه (RCP8.5) انجام شد. جهت درستی سنجی برونداد دمای کمینه و بیشینه مدل مقیاس‌کاهی شده از چهار سنجه آماری GCM، MBE، RMSE و PCC استفاده شد. نتایج درستی سنجی برونداد مدل SDSM نشان داد که این مدل در عرض‌های جغرافیایی بالا و مناطق سردسیر از کارایی نسبتاً مناسبی برخوردار است. با این وجود به دلیل در دسترس بودن تنها یک واسط کاربری GCM (مدل CanESM2)، در نظر نگرفتن روابط فیزیکی جو توسط مدل SDSM و همچنین تکیه صرف بر روابط آماری بین داده‌های مشاهداتی و GCM، نتایج دارای عدم قطعیت زیادی نسبت به برونداد مدل‌های دینامیکی و یا روش دینامیکی-آماری و مدل همادی می‌باشد. بی‌هنگاری دمای کمینه و دمای بیشینه در دوره‌های پیش‌نگری اول تا پنجم براساس سه سناریوی واحد تابشی مثبت است. نتایج بی‌هنگاری دمای کمینه نشان داد که کمینه بی‌هنگاری مثبت در ایستگاه یاسوج و بیشینه آن در ایستگاه پیرانشهر مشاهده می‌شود. به همین ترتیب بی‌هنگاری دمای بیشینه در ایستگاه‌های تهران (زئوفیزیک) و تهران (شمیران) مشاهده می‌شود. بطور کلی، دمای کمینه و بیشینه تحت سناریوهای حد واسط (RCP4.5) و بدینانه (RCP8.5) نسبت به سناریوی خوشبینانه (RCP2.6) افزایش بیشتری را بهخصوص برای مناطق شمال‌غربی ایران نشان می‌دهند. این نتیجه از آن جهت مهم است که با افزایش دما ذوب سریعتر پوشش برف در مناطق سردسیر برای کشور خشک و نیمه خشکی همچون ایران به دلیل کاهش دسترسی به آب شیرین یک تهدید بالقوه محسوب می‌شود.

**واژه‌های کلیدی:** بی‌هنگاری دمای سناریوهای RCP، مناطق سردسیر، ایران.

پنج گانه یاد شده را در پی داشته باشد. بنابراین تغییر در هر یک از متغیرهای اقلیمی می‌تواند حیات کره‌ی زمین را تهدید کند. تغییر اقلیم اکنون سریعتر از هر زمان دیگری در تاریخ تمدن بشر درحال وقوع است که حاصل فعالیت‌های انسانی است (WH, 2021:4). با صنعتی شدن جوامع بشری به همراه افزایش چشمگیر گازهای گلخانه‌ای، تغییر اقلیم نمود بیشتری یافته است (Javaherian et al., 2021:445).

### مقدمه

سامانه‌ی اقلیمی یک سامانه‌ی به غایت پیچیده، حاصل برهمکنش فیزیکی هوکره، سنگ‌کره، آب‌کره، زیست‌کره و بیخ کره است. به گونه‌ای که اگر دمای هوا به عنوان یک متغیر از هوکره تغییر یابد، می‌تواند تغییر در بسیاری از متغیرها و مولفه‌های سامانه‌های

\*نویسنده مسئول: zarrin@um.ac.ir

۵۰ ساله (۱۳۹۵-۱۳۴۷) افزایش یافته است. مطالعات انجام شده در ایران نشان می‌دهد تاثیر گرمایش جهانی بر روی اقلیم ایران سبب افزایش میانگین تنش‌های گرمایی برای دهه‌های آینده خواهد شد (فغانی و فیتچت، ۱۳۹۹:۱۷). از آنجایی که ایران کشوری خشک و نیمه خشک محسوب می‌شود، پیش‌نگری اقلیمی می‌تواند برای برنامه‌ریزی‌های مدیریتی مفید واقع شود (احمدی و همکاران، ۱۳۹۸:۶۲۵). در این میان دما یکی از مهمترین متغیرهای اقلیمی است که می‌تواند در آشکارسازی رخدادهای فرین اقلیمی و مدیریت ریسک بسیار موثر باشد (روحبخش سیگارودی و همکاران، ۱۳۹۷:۱۶۱).

لذا بررسی تغییرات دما و پیش‌نگری آن برای دهه‌های آینده دارای اهمیت است تا بتوان تصمیمات مهمی در زمینه‌های اجتماعی، اقتصادی و غیره اتخاذ نمود. پیامدهای تغییر اقلیم بسیار وابسته به ویژگی‌های جغرافیایی منطقه، تنوع اقلیم محلی و وضعیت اجتماعی-اقتصادی است. بنابراین، تحقیقات ارزیابی اثرات تغییر اقلیم باید در سطوح منطقه‌ای بررسی گردد تا بتوان به درستی به بررسی پیامدهای آن پرداخت (Goodarzi et al., 2021:29).

مدل‌های گردش کلی جو (GCM) می‌توانند اقلیم کره‌ی زمین را از طریق حل معادلات فیزیکی حاکم بر فرآیندها، برهمکنش و بازخوردهای جوی، اقیانوسی و زیستی شبیه‌سازی کنند. آن‌ها ابزارهای پیشرفته‌ای هستند که دانسته‌های اقلیمی را در مقیاس جهانی و قاره‌ای پوشش می‌دهند و برای درک تغییر اقلیم گذشته، حال و آینده تحت سناپریوهای افزایش غلظت گازهای گلخانه‌ای استفاده می‌شوند (Zhang & Li, 2020:6). به منظور بررسی پیامدهای بالقوه گرمایش جهانی و پیش‌نگری متغیرهای اقلیمی از مدل‌های گردش کلی جو (GCM) استفاده می‌شود (Gagnon et al., 2005:297).

از آنجایی که مدل‌های گردش کلی جو تکیک افقی پایینی دارند و برای بررسی پیامدهای تغییر اقلیم در سطوح منطقه‌ای و محلی نمی‌توان از این مدل‌ها استفاده نمود، لذا ضرورت دارد پیش از بکارگیری

تغییر اقلیم سبب تغییرات شدید فرین‌های اقلیمی شده و از این‌رو پیامدهای فاجعه باری را بر جامعه بشری و محیط طبیعی تحمیل خواهد کرد (Baghanam et al., 2020:1) (Doulabian et al., 2021:166). مطالعه گرمایش جهانی به دلیل پیامدهای اقتصادی-اجتماعی و خسارات مالی از Fallahi & Akbary, (2020:11) اهمیت زیادی برخوردار است (Bindi et al., 2018:186). گزارش ارزیابی پنجم هیأت بین دولتی تغییر اقلیم (AR5) نشان داد که میانگین دمای جهانی حدود  $0.85^{\circ}\text{C}$  درجه سلسیوس طی دوره آماری ۲۰۱۲-۲۰۲۰ افزایش یافته است (Reidmiller et al., 2017:31).

تغییر اقلیم می‌تواند پیامدهای پرهزینه‌ای بر خدمات اساسی شهرها، زیرساخت‌ها، مسکن، معیشت انسان (Leal Filho et al., 2019:1176) (Kurane, 2010:4) داشته باشد. براساس گزارش سازمان هواشناسی جهانی، میانگین دمای جهانی برای سال ۲۰۲۱،  $13.0 \pm 0.8^{\circ}\text{C}$  درجه سلسیوس بالاتر از میانگین سال‌های ۱۹۰۰ تا ۱۸۵۰ بوده است (WMO, 2021).

پیامدهای تغییر اقلیم در میان کشورهای خاورمیانه به ویژه ایران بسیار شدید است (Daneshvar et al., 2019:1) (Sarman et al., 2013) میانگین دمای ایران با شبیه حدود  $4^{\circ}\text{C}$  درجه سلسیوس طی دوره آماری

استفاده کرده‌اند از این مدل گرددش کلی بهره برده‌اند. پیش‌نگری بارش و دما و درستی سنگی برونداد مقیاس‌کاهی شده مدل SDSM در سطح جهانی مورد استفاده بسیاری قرار گرفته است که می‌توان به Al-Mukhtar (Al-Mukhtar & Gebeyehu Ayele, 2019) و Qasim (Qasim, 2019)، اتیوپی (Gebeyehu Ayele, 2019) و غنا (Siabi et al., 2021) اشاره کرد. تمامی این مطالعات ضمن تایید کارایی مدل SDSM در برآورد دما و بارش بر افزایش دما و کاهش بارش در مناطق مورد مطالعه‌شان تاکید کرده‌اند. در این بین مطالعاتی نیز به مقایسه برونداد مدل‌های HadCM3 و CMIP5 از سری مدل‌های CMIP3 و CanESM2 می‌گذرد که می‌توان به مطالعه Hassan & Nile, (2021) اشاره کرد که به پیش‌نگری دمای بیشینه و کمینه در جنوب غربی عراق پرداختند و افزایش دما را در این منطقه تایید کردند. دسته دیگری از مطالعات برونداد مستقیم مدل SDSM را با استفاده از روش‌های آماری تصحیح کرده‌اند. از جمله این مطالعات به می‌توان به پژوهش (Fan et al., 2021) اشاره کرد. ایشان با استفاده از دو روش تصحیح اریبی متغیرهای کمینه، بیشینه و میانگین دما را در چین مورد ارزیابی قرار دادند. نتایج پژوهش آن‌ها نشان دهنده روند افزایشی دما در بیشتر مناطق چین بوده است.

تغییرات دما و بارش در ایران نیز مورد توجه پژوهش‌های بسیاری قرار گرفته است که عمدتاً از رویکرد مقیاس‌کاهی آماری استفاده کرده‌اند. در یک دسته بندی کلی مطالعات انجام شده در حوزه مقیاس‌کاهی آماری متغیرهای اقلیمی در ایران را می‌توان در دو دسته‌ی استفاده از یک مدل مقیاس کاهی همانند SDSM یا LARS-WG و مقایسه برونداد این دو مدل قرار داد. مطالعات انجام شده در ایران که از مدل SDSM استفاده کرده‌اند، همانند مطالعات انجام شده در سطح جهانی به دلیل در دسترس بودن واسط کاربری مدل CanESM2 تنها از این GCM برای مقیاس کاهی مدل‌های فاز پنجم

GCM‌ها به مقیاس‌کاهی آن‌ها پرداخت (Wilby et al., 2002:147) می‌شود: ۱- مقیاس‌کاهی آماری ۲- مقیاس‌کاهی دینامیکی. تکنیک‌های مقیاس‌کاهی آماری و دینامیکی، هر دو روش ثبت‌شده مناسبی برای از بین بردن شکاف موجود بین اطلاعات وسیع تولید شده توسط مدل‌های گرددش کلی جو و مدل‌های مقیاس محلی و منطقه‌ای هستند (Casanueva et al., 2016:411). در این پژوهش به جهت پیش‌نگری دمای کمینه و بیشینه مناطق سردسیر ایران از مدل مقیاس‌کاهی SDSM که توسط مرکز هدلي انگلستان توسعه یافته، استفاده شده است. مدل مقیاس‌کاهی آماری SDSM به دلیل هزینه‌ی محاسباتی کمتر، دسترسی راحت‌تر، بررسی سریع‌تر و اجرا بر روی تمامی سیستم عامل‌ها، یکی از بهترین مدل‌های مقیاس‌کاهی آماری است (Robert L Wilby & Dawson, 2007:7). لذا به منظور بررسی کارایی مدل SDSM در این پژوهش از این جهت مقیاس‌کاهی دمای کمینه و بیشینه مناطق سردسیر استفاده گردید.

تغییر اقلیم به دلیل تغییرات بسیاری که در سامانه اقلیم و محیط زیست ایجاد کرده است مورد توجه پژوهش‌های بسیاری قرار گرفته است. برای آشکار سازی این تغییرات طی دوره‌های تاریخی و آینده از روش‌های مختلفی استفاده می‌شود و همانطور که پیش‌تر نیز گفته شد روش‌های مقیاس‌کاهی آماری به دلیل سهولت در بکارگیری و هزینه محاسباتی پایین مورد توجه بسیاری قرار گرفته است. پیش‌تر مطالعات انجام شده با روش‌های مقیاس‌کاهی آماری از مدل SDSM استفاده کرده‌اند. اغلب این مطالعات در برگیرنده بررسی کارایی برونداد مدل در برآورد متغیرهای دما و بارش و پیش‌نگری آن‌ها برای دوره‌های آتی متمرکز شده‌اند. از آنجاییکه تنها واسط کاربری مدل CanESM2 از سری مدل‌های CMIP5 برای مدل SDSM به‌طور رایگان در دسترس بوده است تقریباً تمامی مطالعات انجام شده که از برای مقیاس‌کاهی دمای و پیش‌نگری دمای و بارش CMIP5

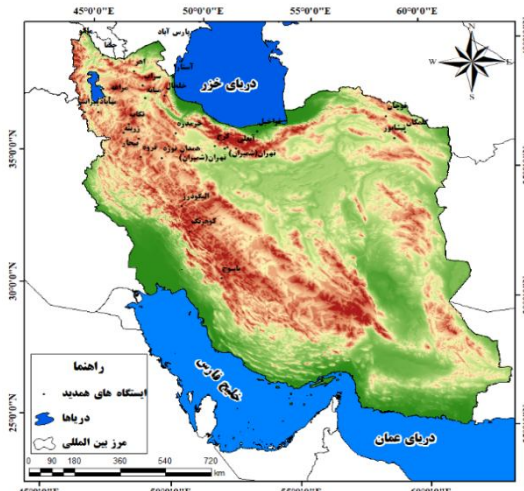
در مناطق سردسیر و مرتفع کوهستانی کمک می‌کند تا در برنامه‌ریزی‌های مرتبط با تغییر اقلیم در آینده و بکارگیری راهکارهای مناسب در جهت افزایش تابآوری، مدیریت منابع آب و سازگاری با شرایط پیش‌رو بتوان اقدامات مناسبی را اتخاذ نمود. افزایش دما به همراه افزایش دوره‌های خشکسالی، تغییر الگوی بارش و افزایش فرین‌های بارشی، کاهش آب‌های سطحی و پایین آمدن سطح آب‌های زیرزمینی از بزرگترین چالش‌های پیش‌رو کشور ایران در دهه‌های آتی تلقی می‌شود که لزوم مطالعات مربوط به پیش‌نگری‌های اقلیمی را یادآور می‌شود.

### مواد و روش‌ها

**منطقه مورد مطالعه:** مطالعه حاضر، مناطق سردسیر ایران را در بر می‌گیرد (شکل ۱). در این تحقیق مناطق سردسیر بر حسب ارتفاع ایستگاه از سطح دریا و عرض جغرافیایی انتخاب شده‌اند. به طوری که ایستگاه نماینده مناطق سردسیر باید دارای ارتفاع حداقل ۱۰۰۰ متر و بالاتر از مدار ۳۵ درجه شمالی باشد. البته استثنایی نیز همچون الیگودرز، کوهرنگ و یاسوج نیز وجود دارد. به طوری که این سه ایستگاه با اینکه در عرض جغرافیایی پایین‌تری قرار گرفته‌اند اما ارتفاع زیادی را دارا می‌باشند.

(CMIP5) استفاده کرده‌اند. از این دست مطالعات می‌توان به پژوهش انجام شده توسط (زهرهوندی و همکاران، ۱۳۹۹) که بررسی چشم‌انداز دما و بارش در ایستگاه‌های سینوپتیک منتخب در غرب کشور پرداختند؛ اشاره کرد که کارایی برونداد مدل CanESM2 را در برآورد متغیرهای اقلیمی تایید کرده‌اند. گروه دیگری از مطالعات همچون (Baghanam et al., 2020) و (لطفی و همکاران، ۱۳۹۹) به مقایسه برونداد مدل‌های مقیاس‌کاهی آماری LARS-WG و SDSM پرداختند. نتایج پژوهش آن‌ها نشان از روند افزایشی دما به ترتیب در ایستگاه تبریز و غرب ایران داشته است.

جمع‌بندی پیشینه تحقیق نشان می‌دهد که بیشتر مطالعات صورت گرفته در ایران محدود به یک ایستگاه بخصوص بوده و تاکنون کارایی این مدل در سطح یک منطقه اقلیمی یا جغرافیایی بخصوص مورد بررسی قرار نگرفته است. لذا پژوهش حاضر از اهمیت بسزایی برخوردار است، چرا که بیش‌تر مناطق سردسیر ایران مورد مطالعه قرار گرفته‌اند. از طرف دیگر بر اساس مطالعات پیشین (زرین و داداشی‌رودباری، ۱۳۹۹) کمینه دما در مناطق مرتفع و کوهستانی کشور به‌ویژه در شمال‌غرب در دوره‌های آینده روند افزایشی دارد که این امر لزوم مطالعات بیش‌تر در مناطق سردسیر را ضرورت می‌بخشد. یافته‌های حاصل از پیش‌نگری دما



شکل ۱- منطقه مورد مطالعه به همراه موقعیت ایستگاه‌های هواشناسی همدید منتخب

داده‌های ۲۸ ایستگاه هواشناسی همدید استفاده شد. داده‌های مورد استفاده برای دو متغیر دمای کمینه و بیشینه در مقیاس روزانه، برای دوره آماری ۱۹۹۱ تا ۲۰۰۵ از سازمان هواشناسی کشور اخذ شد. برای مقیاس کاهی و پیش‌نگری دمای کمینه و دمای بیشینه از برونداد مدل CanESM2 از سری مدل‌های CMIP5 تحت سه سناریو خوش‌بینانه (RCP2.6)، حد وسط (RCP4.5) و بدینانه (RCP8.5) استفاده شد (جدول ۱). مدل دوم CanESM2 نسل دوم مدل سامانه زمین کانادایی، یک مدل کامل و همبسته از چهارمین نسل مدل‌های جفت‌شده جوی-اقیانوسی می‌باشد که توسط مرکز کانادایی تحلیل و مدل‌سازی اقلیم CCCMA توسعه یافته است.

ایستگاه‌های نماینده این مناطق بر اساس دو عامل عرض جغرافیایی و ارتفاع انتخاب شدند. چنان‌که که پیش‌تر گفته شد دما در مناطق سردسیر و با عرض جغرافیایی بالا بیش از سایر مناطق ایران از پدیده گرمایش جهانی تاثیر پذیرفته و براساس مطالعات انجام شده کمینه دما در مناطق مرتفع و کوهستانی کشور بهویژه در شمال غرب در دوره‌های آینده روند افزایشی بیش‌تری نسبت به سایر مناطق کشور دارد (زرین و داداشی‌رودباری، ۱۳۹۹). مناطق سردسیر از این جهت که ذخیره‌گاه‌های برف و آب شیرین برای کشور خشک و نیمه‌خشک همچون ایران محسوب می‌شوند دارای اهمیت بسیار زیادی هستند.  
داده‌های مورد استفاده: در تحقیق حاضر از

جدول ۱- سناریوهای واداشت تابشی (RCP): نشانگر خط سیر غلظت گازهای گلخانه‌ای (IPCC, 2013:27)

سناریو	W/M <sup>2</sup> (واداشت تابشی)	PPM(CO <sub>2</sub> ) غلظت	میانگین گرمایش جهانی تا سال ۲۱۰۰
RCP2.6	حداکثر ۳ وات بر متر مربع است و بعد از سال ۲۱۰۰ کاهش می‌یابد	۴۹۰	۱/۰(۰/۳_۱/۷)°C
RCP4.5	۴/۵ وات بر متر مربع و بعد از سال ۲۱۰۰ ثابت می‌ماند	۶۵۰	۱/۸(۰/۳_۲/۶)°C
RCP8.5	بیشتر از ۸/۵ وات بر متر مربع در سال ۲۱۰۰	۱۳۷۰	۳/۷(۲/۶_۴/۸)°C

پرکاربرد تلقی می‌گردد که اختلاف بین مقادیر مدل و داده‌های مشاهداتی را نشان می‌دهد. ضریب همبستگی پیرسون (PCC) روش خطی برای بررسی همبستگی دو سری داده است که مقدار آن بین ۱-۰ و ۱ در نوسان است.

در روابط ارائه شده در جدول (۲)،  $P_i$  مقدار برآورده شده توسط مدل،  $O_i$  مقدار مشاهداتی و  $n$  تعداد کل داده‌ها است. همچنین  $obs$  و  $sim$  به ترتیب مقادیر مشاهداتی و برآورد شده توسط مدل هستند.

**مدل مقیاس کاهی آماری SDSM:** مدل مقیاس کاهی آماری SDSM یک مدل رایگان در دسترس است که مدل‌های گردش کلی جو (GCMs) برای مکان خاص (ایستگاه هواشناسی) مقیاس کاهی می‌کند. همچنین این مدل می‌تواند به عنوان یک مولد تصادفی متغیرهای جوی یا برای بازسازی داده‌های

درستی سنجی برونداد مقیاس کاهی شده مدل SDSM: برای درستی سنجی برونداد مدل SDSM در مناطق سردسیر از چهار سنجه آماری ریشه میانگین مربعات خطأ (RMSE<sup>۱</sup>) (Chai & Draxler, 2014) (RMSE<sup>۲</sup>) (Ines & Hansen, 2006)، ضریب همبستگی پیرسون (PCC<sup>۳</sup>) (PBIAS<sup>۴</sup>) (Benestry et al., 2009) و درصد اریبی (Moriasi et al., 2007) استفاده شد (جدول ۲). مقادیر MBE و PBIAS تفاوت بین مقادیر مشاهداتی و مقیاس کاهی شده است که ممکن است مثبت یا منفی باشد که نشان دهنده بیش برآورده و یا کم برآورده مدل است. سنجه RMSE یک سنجه

1. Root mean squared error (RMSE)

2. Mean bias error (MBE)

3. Pearson correlation coefficient (PCC)

4. Percent bias (PBIAS)

ایستگاه‌های هواشناسی هستند را براساس روش رگرسیون خطی چندگانه برقرار می‌کند. قبل از انجام فرایند مقیاس‌کاری توسط این مدل داده‌های مشاهداتی و داده‌های مدل گردش کلی با توجه به مقادیر میانگین و انحراف معیار آن‌ها در دوره‌ی مورد نظر بهنجار می‌شوند (R L Wilby et al., 2002:149).

مفقود در سری‌های هواشناسی استفاده شود (Robert L Wilby & Dawson, 2013:1707) نسخه از این مدل در سال ۲۰۰۱ منتشر شد. مدل مقیاس‌کاری آماری SDSM ارتباط آماری بین الگوهای بزرگ مقیاس (پیش‌بینی‌کننده‌ها) که از GCM‌ها یا بازتحلیل‌ها هستند و متغیرهای اقلیمی محلی (پیش‌بینی‌شونده‌ها) که از معمولاً از

جدول ۲- سنجه‌های آماری جهت درستی سنجی برونداد دمای کمینه و دمای بیشینه مقیاس‌کاری شده با SDSM

رابطه	سنجه آماری
$\frac{(P_i - \bar{P})(O_i - \bar{O})}{\sqrt{\sum(P_i - \bar{P})^2} \sqrt{\sum(O_i - \bar{O})^2}}$	ضریب همبستگی پیرسون (PCC)
$\sqrt{\frac{\sum_1^n (P_i - O_i)^2}{n}}$	ریشه میانگین مربعات خطأ (RMSE)
$\frac{\sum_1^n (P_i - O_i)}{n}$	میانگین اربی خطا (MBE)
$\frac{\sum_{i=1}^n (Y_i^{obs} - Y_i^{sim}) \times 100}{\sum_{i=1}^n Y_i^{obs}}$	درصد اربی (PBIAS)

غرب ایران، ارتفاعات آذربایجان و البرز) کم برآورده دما را نشان می‌دهد. بیشینه مقدار اربی (MBE) در مناطق سردسیر و مرتفع مربوط به ایستگاه اهر با مقدار اربی ۰/۰۶ درجه سلسیوس است و کمینه مقدار اربی (MBE) در مناطق سردسیر و مرتفع مربوط به ایستگاه خلخال با مقدار اربی ۰/۱۷ درجه سلسیوس است. مقدار سنجه‌ی PBIAS که بیانگر درصد اربی است برای دمای کمینه در تمامی ایستگاه‌ها کمتر از یک درصد به دست آمده است. بیشینه درصد اربی در ایستگاه‌های خلخال، سراب و همدان (نوزه) دیده شد (شکل ۲).

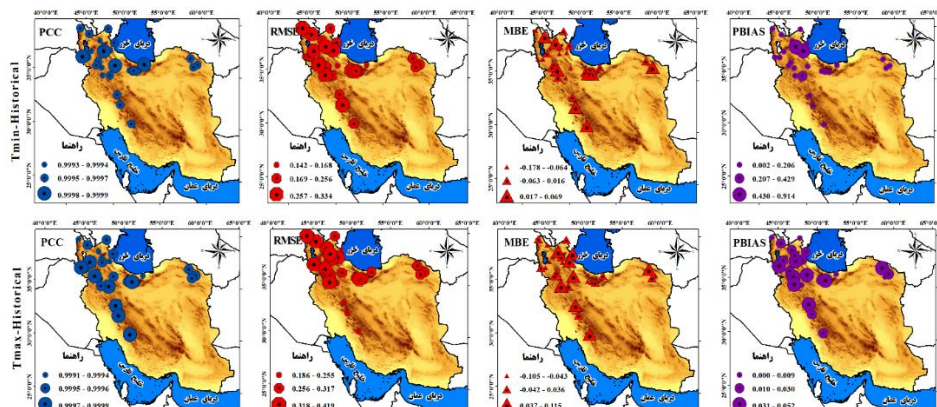
درستی‌سنجی متغیر دمای بیشینه نیز الگوی مشابهی را همانند دمای کمینه برای بیشتر ایستگاه‌های مورد بررسی نشان می‌دهد. ضریب همبستگی پیرسون (PCC) بین برونداد مقیاس‌کاری شده مدل CanESM2 و ایستگاه‌های هواشناسی، مقدار ۰/۹۹ را برای بیشتر ایستگاه‌های مورد بررسی

### یافته‌های تحقیق

درستی‌سنجی برونداد مدل CanESM2 برای دمای کمینه و بیشینه مناطق سردسیر ایران: جهت درستی سنجی برونداد مقیاس‌کاری شده مدل CanESM2 از چهار سنجه آماری PCC، RMSE، MBE و PBIAS برای بررسی دمای کمینه و دمای بیشینه در نواحی سردسیر ایران استفاده شد. نتایج مربوط به سنجه PCC نشان داد که مقدار دمای کمینه برونداد مدل با داده‌های مشاهداتی دارای همبستگی مثبت است که نشان دهنده کارایی بالای برونداد مقیاس کاری شده دمای کمینه است. بررسی نتایج RMSE نشان داد که مقدار این سنجه بین ۰/۱۶ تا ۰/۳۳ درجه سلسیوس به ترتیب در مناطق سردسیر حاشیه جنوبی دریای خزر و نواحی سردسیر و مرتفع شمال غرب ایران متغیر است. بررسی سنجه MBE برای دمای کمینه در اکثر ایستگاه‌های مناطق سردسیر ایران (نوار کوهستانی شمال غرب تا جنوب

دمای بیشینه در مناطق کوهستانی شمال غرب و مناطق سردسیر حاشیه جنوبی دریای خزر کم برآورده دارد. مقدار سنجه MBE برای مناطق نامبرده بین  $0/15 - 0/36$  متغیر است. این در حالیست که ارتفاعات آذربایجان، زنجان، همدان، البرز و ارتفاعات خراسان برونداد مدل CanESM2 بیش برآورده دارد. بیشینه مقدار اریبی (MBE) دمای بیشینه مربوط به ایستگاه خرمدره با مقدار اریبی  $0/11$  درجه سلسیوس است. نتایج حاصل از بررسی سنجه PBIAS برای دمای بیشینه در ارتفاعات خراسان رضوی، کردستان، آذربایجان و نوار کوهستانی شمال غرب نشان داد که مقدار PBIAS بین  $0/01 - 0/05$  در نوسان است (شکل ۲).

مناطق سردسیر کشور نشان داده است. کمینه این سنجه در ایستگاه‌های مناطق مرتفع البرز و ایستگاه‌های واقع در شمال‌غرب کشور و بخصوص استان اردبیل دیده می‌شود. در مجموع همانطور که برای دمای کمینه نیز دیده شد برونداد مقیاس کاهی شده مدل SDSM کارایی بالایی در برآورد دمای بیشینه در مناطق سردسیر ایران دارد. بررسی نتایج RMSE برای متغیر دمای بیشینه نشان داد که مقدار خطای  $0/18$  تا  $0/41$  درجه سلسیوس در نوسان است (شکل ۲). بیشینه مقدار سنجه RMSE مربوط به ایستگاه خلخال با مقدار خطای  $0/41$  درجه سلسیوس و کمینه مقدار این سنجه مربوط به ایستگاه کوهرنگ با مقدار خطای  $0/18$  درجه سلسیوس است.



شکل ۲- درستی‌سنجی برونداد مقیاس کاهی شده مدل CanESM2 از سری مدل‌های CMIP5 با استفاده از سنجه‌های PCC، RMSE، MBE و PBIAS

ثبت با  $0/96$  درجه سلسیوس در ایستگاه آبلی و بیشینه بی‌هنگاری ثبت با  $1/67$  درجه سلسیوس در ایستگاه تهران (ژئوفیزیک) مشاهده می‌شود. در دوره‌ی دوم پیش‌نگری ( $2041-2055$ ) بی‌هنگاری دمای بیشینه نسبت به دوره‌ی اول افزایش داشته است، بطوریکه کمینه بی‌هنگاری با  $1/01$  درجه سلسیوس در ایستگاه‌های ماکو و آبلی و بیشینه بی‌هنگاری با  $1/74$  درجه سلسیوس در ایستگاه تهران (شمیران) مشاهده می‌شود. براساس سناریوی خوشبینانه در دوره‌های سوم ( $2056-2070$ ) و چهارم (RCP2.6) پیش‌نگری از شدت بی‌هنگاری ثبت دمای بیشینه نسبت به دوره‌ی اول و دوم کاسته

بی‌هنگاری دمای بیشینه مناطق سردسیر ایران براساس برونداد مقیاس کاهی شده مدل CanESM2 : شکل (۳) بی‌هنگاری دمای بیشینه سالانه را در پنج دوره آینده ( $2055-2055$ ،  $2026-2040$ ،  $2071-2085$ ،  $2041-2041$ ،  $2056-2070$ ) تحت سه سناریوی منتخب RCP4.5، RCP2.6 و RCP8.5 براساس برونداد مقیاس کاهی شده مدل CanESM2 از سری مدل‌های CMIP5 نشان می‌دهد. بررسی برونداد مدل CanESM2 در مناطق سردسیر کشور نشان داد که براساس سناریوی خوشبینانه (RCP2.6) بی‌هنگاری در سراسر دوره‌ی پیش‌نگری اول ( $2026-2040$ ) ثبت است. کمینه بی‌هنگاری

نسبت به دوره‌ی اول و دوم بهترتب دارای روند افزایشی و کاهشی است. به طوریکه بیشینه بی‌هنجارت در ایستگاه‌های تهران (ژئوفیزیک) و تهران (شمیران) در دوره‌ی سوم و چهارم به ترتیب برابر با  $1/82$  و  $1/66$  درجه سلسیوس و کمینه بی‌هنجارت در دوره‌ی سوم و چهارم به ترتیب در ایستگاه‌های سراب با  $0/95$  درجه سلسیوس و ماکو با  $0/28$  درجه سلسیوس مشاهده می‌شود. بررسی مقادیر دمای بیشینه در سناریوی حدواتسط (RCP4.5) در قیاس با سناریوی خوشبینانه (RCP2.6) در دوره سوم و چهارم نشان داد که بی‌هنجارت دمای بیشینه تحت سناریو RCP4.5 افزایشی است و به لحاظ موقعیت مکانی در ارتفاعات خراسان رضوی، البرز، گیلان، آذربایجان، کردستان، همدان، زنجان، اردبیل، لرستان، چهارمحال‌بختیاری و کهگیلویه و بویراحمد شدت می‌یابد. بی‌هنجارت دمای بیشینه طی دوره‌ی پنجم پیش‌نگری ( $2086-2100$ ) نسبت به دوره‌ی اول، دوم و چهارم شدت می‌یابد در حالیکه نسبت به دوره‌ی سوم از شدت‌ش کاسته می‌شود. بیشینه بی‌هنجارت در این دوره با  $1/73$  درجه سلسیوس در ایستگاه تهران (شمیران) و کمینه آن با  $0/32$  درجه سلسیوس در ایستگاه ماکو مشاهده می‌شود.

نتایج سناریوی بدینانه (RCP8.5) برای برونداد مقیاس کاهی شده مدل CanESM2 الگویی مشابه با سناریوهای خوشبینانه (RCP2.6) و حدواتسط (RCP4.5) نشان داده است. بیشینه بی‌هنجارت مثبت دمای بیشینه براساس سناریوی بدینانه (RCP8.5) در دوره اول ( $2026-2040$ ) در شمال شرق ایران (ارتفاعات خراسان رضوی)، ارتفاعات البرز، شمال غرب ایران (ارتفاعات آذربایجان) و جنوب غرب ایران (ارتفاعات کهگیلویه و بویراحمد) از  $1/0$  درجه سلسیوس به  $1/81$  درجه سلسیوس در دوره‌ی پنجم رسیده است. کمینه بی‌هنجارت مثبت دمای بیشینه براساس سناریوی بدینانه (RCP8.5) در دوره اول ( $2026-2040$ ) در ارتفاعات اردبیل و آذربایجان شرقی و چهارمحال‌بختیاری از  $0/77$  به  $1/19$  درجه سلسیوس در دوره پنجم رسیده است. در مقابل،

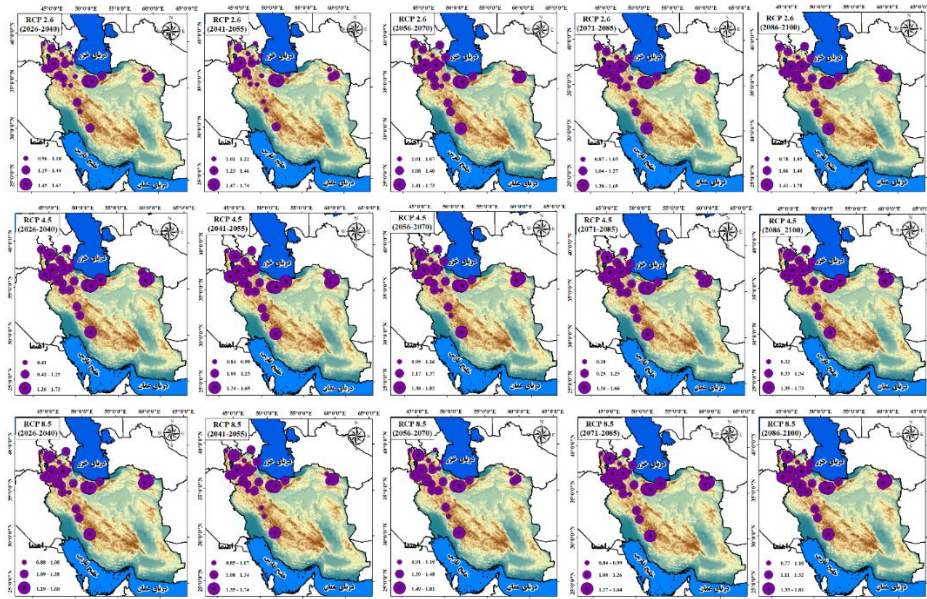
می‌شود به طوریکه بیشینه بی‌هنجارت همچنان در ایستگاه تهران (ژئوفیزیک) در دوره سوم و چهارم به ترتیب برابر با  $1/73$  و  $1/65$  درجه سلسیوس و کمینه بی‌هنجارت در دوره سوم و چهارم به ترتیب در ایستگاه‌های خلخال با  $1/01$  درجه سلسیوس و سراب با  $0/87$  درجه سلسیوس مشاهده می‌شود. طی دوره پنجم پیش‌نگری ( $2086-2100$ ) بی‌هنجارت مثبت دمای بیشینه نسبت به دوره‌های اول تا چهارم افزایش داشته است به گونه‌ای که کمینه بی‌هنجارت با  $0/78$  درجه سلسیوس در ایستگاه اهر و بیشینه بی‌هنجارت با  $1/78$  درجه سلسیوس در ایستگاه تهران (ژئوفیزیک) مشاهده می‌شود.

بر اساس سناریوی حدواتسط (RCP4.5)، بی‌هنجارت دمای بیشینه برای برونداد مدل CanESM2 در دوره اول ( $2026-2040$ ) نشان‌دهنده بی‌هنجارت مثبت دمای بیشینه در این دوره است. کمینه بی‌هنجارت مثبت در ایستگاه آستارا با  $0/41$  درجه سلسیوس و بیشینه آن با  $1/73$  درجه سلسیوس در ایستگاه تهران (شمیران) مشاهده می‌شود. مقایسه نتایج دو سناریو خوشبینانه و حدواتسط نشان دهنده افزایش بیشتر در دمای بیشینه در سناریو حدواتسط (RCP4.5) است. همانطور که در شکل (۳) دیده می‌شود علاوه بر افزایش شدت بی‌هنجارت دمای بیشینه، بر وسعت مکانی آن هم در قیاس با سناریوی خوشبینانه (RCP2.6) افزوده شده است. به لحاظ موقعیت مکانی در سناریوی حدواتسط (RCP4.5) افزایش بی‌هنجارت مثبت دمای بیشینه بیشتر در ارتفاعات خراسان رضوی، البرز، همدان، کردستان و آذربایجان مشاهده می‌شود.

طی دوره دوم پیش‌نگری آینده ( $2041-2055$ ) از شدت بی‌هنجارت دمای بیشینه در این دوره نسبت به دوره‌ی اول کاسته می‌شود. مقایسه نتایج دو سناریو RCP2.6 و RCP4.5 برای مدت مشابه یاد شده نشان دهنده کاهش شدت بی‌هنجارت مثبت دمای بیشینه برای سناریو RCP4.5 است. براساس سناریوی حدواتسط RCP4.5 در دوره‌ی سوم ( $2056-2070$ ) و چهارم ( $2071-2085$ ) بی‌هنجارت دمای بیشینه

تا ۰/۹ درجه سلسیوس می‌رسد.

کمینه بی‌هنگاری مثبت بیشینه دما از دوره اول تا پنجم، برای ایستگاه‌های سراب، اهر و قوچان از ۰/۷۶



شکل ۳- بی‌هنگاری دمای بیشینه طی دوره پیش‌نگری (۲۰۲۶-۲۱۰۰) در مناطق سردسیر مبتنی بر  
برونداد مقیاس کاهی شده مدل CanESM2 تحت سناریوهای RCP8.5، RCP4.5 و RCP2.6

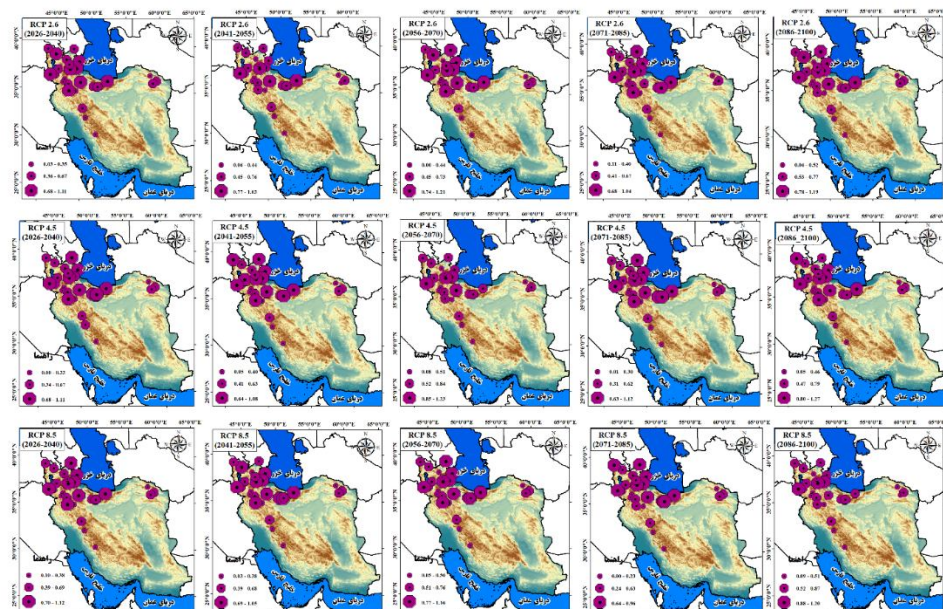
بی‌هنگاری دمای کمینه براساس سناریوی خوشبینانه (RCP2.6) در ارتفاعات البرز، اردبیل، زنجان، همدان، آذربایجان، کردستان و لرستان مشاهده می‌شود. بی‌هنگاری دمای کمینه براساس نتایج سناریوی حدوداً ۰/۹ درجه سلسیوس می‌رسد. در دوره اول (۲۰۴۰-۲۰۲۶) تا دوره پنجم (۲۰۸۶-۲۱۰۰) مثبت است. در این دوره بیشینه بی‌هنگاری دمای کمینه تا انتهای قرن بیست و یکم در ایستگاه پیرانشهر به ۱/۲۷ درجه سلسیوس می‌رسد.

بررسی بی‌هنگاری دمای کمینه براساس سناریوی بدینانه (RCP8.5) مبتنی بر برونداد مقیاس کاهی شده مدل CanESM2 در دوره پیش‌نگری اول (۲۰۲۶-۲۰۴۰) تا دوره پنجم (۲۰۸۶-۲۱۰۰) نشان داد که بی‌هنگاری دمای کمینه همانند دو سناریوی قبلی مطابق با آنچه انتظار می‌رفت در این دوره نیز مثبت است. نتایج سناریوی بدینانه (RCP8.5) طی دوره اول پیش‌نگری (۲۰۲۶-۲۰۴۰) نشان داد که در مقایسه با دو سناریوی قبلی بی‌هنگاری دمای کمینه بیشتر است. براساس سناریوی بدینانه (RCP8.5) در

بی‌هنگاری دمای کمینه مناطق سردسیر ایران براساس برونداد مقیاس کاهی شده مدل CanESM2: شکل (۴) بی‌هنگاری دمای کمینه سالانه را طی پنج دوره پیش‌نگری شده (۲۰۲۶-۲۰۴۰، ۲۰۴۱-۲۰۵۵، ۲۰۵۶-۲۰۷۰، ۲۰۷۱-۲۰۸۶، ۲۰۸۷-۲۰۱۰) تحت سه سناریوی RCP8.5، RCP4.5 و RCP2.6 کاهی شده مدل CanESM2 از سری مدل‌های CMIP5 نشان می‌دهد. بررسی دمای کمینه برونداد مدل مقیاس کاهی شده CanESM2 در مناطق سردسیر نشان می‌دهد که براساس سناریوی خوشبینانه (RCP2.6)، بی‌هنگاری در سراسر دوره پیش‌نگری اول (۲۰۲۶-۲۰۴۰) تا پنجم (۲۰۸۶-۲۱۰۰) مثبت است. طی دوره اول پیش‌نگری، کمینه بی‌هنگاری مثبت دمای کمینه در سراسر دوره اول تا پنجم در ایستگاه یاسوج بین صفر تا ۰/۱۱ درجه سلسیوس و بیشینه بی‌هنگاری دمای کمینه در ایستگاه پیرانشهر بین ۱/۰۳ تا ۱/۲۱ درجه سلسیوس مشاهده می‌شود. به لحاظ توزیع فضایی، بیشینه

رضوی، البرز، اردبیل، زنجان، همدان، آذربایجان، لرستان و کردستان مشاهده می‌شود. این در حالی است که در دهه‌ی پایانی قرن بیست و یکم از شدت بی‌هنگاری دمای کمینه تا حدودی در مقایسه با دو سناریوی قبلی در این مناطق کاسته شده است.

دوره‌های دوم، سوم، چهارم و پنجم همانطور که در شکل (۴) نشان داده شده است از شدت بی‌هنگاری دمای کمینه در مقایسه با دو سناریوی قبلی کاسته می‌شود. به لحاظ توزیع جغرافیایی ایستگاه‌ها، بیشینه بی‌هنگاری دمای کمینه براساس سناریوی (RCP8.5) در سراسر دوره‌ی اول تا چهارم در ارتفاعات خراسان



شکل ۴. بی‌هنگاری دمای کمینه طی دوره پیش‌نگری (۲۰۲۶-۲۱۰۰) در مناطق سردسیر مبتنی بر برونداد مقیاس‌کاهی شده مدل CanESM2 تحت سناریوهای RCP8.5 و RCP4.5، RCP2.6 و RCP2.6 (۲۰۲۶-۲۰۴۰)

درجه سلسیوس و کمینه آن مربوط به ایستگاه خرمدره با مقدار ۰/۱۴ درجه سلسیوس است. بررسی نتایج درستی‌سنجدی برای دمای بیشینه نشان داد که بیشترین مقدار سنجه RMSE مربوط به ایستگاه خلخال با مقدار ۰/۴۱ درجه سلسیوس و کمینه آن مربوط به ایستگاه کوهزنگ با مقدار ۰/۱۸ درجه سلسیوس است.

بررسی بی‌هنگاری دمای کمینه براساس سناریوی خوب‌بینانه (RCP2.6)، حدواتسط (RCP4.5) و بدیگرانه (RCP8.5) نشان داد که در سراسر دوره‌ی مطالعاتی اول (۲۰۴۰-۲۰۲۶) تا پنجم (۲۰۸۶-۲۱۰۰) در نواحی سردسیر بی‌هنگاری دمای کمینه ثابت است. کمینه بی‌هنگاری مثبت بر اساس این سه سناریو در سراسر دوره‌ی مطالعاتی اول تا پنجم در ایستگاه

## بحث و نتیجه‌گیری

این پژوهش پیش‌نگری بی‌هنگاری بلندمدت (۲۰۲۶-۲۱۰۰) دمای کمینه و دمای بیشینه در مناطق سردسیر ایران را مبتنی بر برونداد مقیاس‌کاهی شده مدل CanESM2 از سری مدل‌های CMIP5 با مدل آماری SDSM تحت سناریوهای واداشت تابشی (RCP) مورد مطالعه قرار داد. بررسی سنجه‌های CanESM2 آماری محاسبه شده، کارایی مناسب مدل CanESM2 را در برآوردن دما در مناطق سردسیر کشور نشان داد. نتایج درستی‌سنجدی مدل CanESM2 برای دمای کمینه در مناطق سردسیر نشان داد که بیشترین خطای در مناطق سردسیر حاشیه جنوبی دریای خزر و نواحی مرتفع شمال غرب ایران دیده می‌شود. بیشینه مقدار سنجه RMSE مربوط به ایستگاه مراغه با مقدار ۰/۳۳

متناسب با شرایط پیش نگری شده آینده برنامه ریزی کرد تا بتوان راهکارهای مناسبی را در جهت افزایش تاب آوری، مدیریت منابع آب و سازگاری در این مناطق اتخاذ نمود.

نتایج این مطالعه نشان داد که هر چند مدل مقیاس کاهی آماری SDSM در برآورد و پیش نگری دمای کمینه و بیشینه بر روی مناطق سردسیر ایران از کارایی قابل قبولی برخوردار است اما باید در نظر داشت که مدل های آماری به رغم مزیت هایی همچون سهولت در بکار گیری، هزینه پایین محاسباتی و همچنین مقیاس کاهی در مقیاس ایستگاهی که می تواند باعث تسهیل در مقایسه بین برونداد مدل و داده مشاهداتی گردد دارای محدودیت هایی نیز می باشد. مهم ترین چالش هایی که مدل های مقیاس کاهی آماری با آن مواجه هستند و از برونداد نتایج این مدل ها نمی توان در طرح های عملیاتی استفاده کرد در نظر نگرفتن فرآیندهای فیزیکی است که اقلیم یک مکان را می سازند. چالش بعدی در پیش نگری های این مدل ها این است که در این روش فرض اصلی بر این است که رابطه آماری به دست آمده در دوره تاریخی، کماکان برای دوره آینده نیز صادق خواهد بود در صورتیکه رابطه آماری به دست آمده در دوره تاریخی صرفاً منعکس کننده ارتباط بین داده های مشاهداتی و دوره تاریخی مدل است و نمی توان آن را به دوره آینده تعیین کرد. از آنجاییکه مدل های آماری توسط موسسات پژوهشی محدودی توسعه داده می شوند، رابط کاربری (Interface) برای این مدل ها تنها توسط یک یا چند GCM محدود آن هم برای مرکزی که مدل را توسعه داده است ارائه می شود که در نتیجه برونداد مدل های آماری نسبت به رویکرد چند مدلی همادی عدم قطعیت بالاتری دارد.

- دما ایران تحت ستاریوهای واداشت تابشی، فیزیک زمین و فضا، ۴۵(۳)، ۶۴۴-۶۲۵.
۲. روحیخشن سیگارودی، حسین علی، کرمپور، مصطفی. قائمی، هوشنگ. مرادی، محمد، آزادی، مجید. (۱۳۹۷). بررسی بیهنجاری های میانگین دمای کمینه و

یاسوج و بیشینه بیهنجاری مثبت در ایستگاه پیرانشهر مشاهده می شود. همچنین مطالعه بیهنجاری دمای بیشینه برای سناریوی خوشبینانه (RCP2.6) نشان داد که بیهنجاری دمای بیشینه در سراسر دوره های پیش نگری اول تا پنجم افزایشی است.

بررسی نتایج سناریوی حدوداً ۴.۵ RCP نشان داد که ضمن افزایش شدت بیهنجاری دمای بیشینه نسبت به سناریو خوشبینانه (RCP2.6)، بر وسعت مکانی آن نیز افزوده می شود. به طوریکه کمینه بیهنجاری دمای بیشینه در دوره های پیش نگری اول تا پنجم در ایستگاه های آستانه، سراب و ماکو و بیشینه بیهنجاری مثبت آن در ایستگاه های تهران (ژئوفیزیک) و تهران (شمیران) دیده می شود.

سناریوی بدینه (RCP8.5) نیز الگوی مشابه با دو سناریوی پیشین را ارائه می دهد با این تفاوت که کمینه بیهنجاری مثبت در ایستگاه های سراب، اهر و قوچان به چشم می خورد. نتایج بررسی بیهنجاری دمای کمینه و بیشینه نشان داد که بیشترین بیهنجاری دما در ارتفاعات خراسان رضوی، البرز، همدان، ارتفاعات آذربایجان، کردستان و کهگیلویه و بویر احمد مشاهده می شود. نتایج پژوهش های پیشین بر افزایش بیشتر دما در مناطق کوهستانی ایران تأکید می کنند (Zarrin et al. 2021). بر این اساس به نظر می رسد مناطق کوهستانی و عرض های جغرافیایی بالاتر، بیشتر از پدیده گرماش جهانی متاثر می شوند. افزایش دما چه در دوره های حاضر و چه در دوره های آینده می تواند پیامدهای نامطلوبی در مناطق سردسیر داشته باشد. وردایی دما در نواحی کوهستانی به دلیل تاثیرگذاری مهمی که در تامین آب مناطق خشک و نیمه خشکی همچون ایران دارند از اهمیت زیادی برخوردار است. لذا لازم است در این مناطق

## منابع

۱. احمدی، محمود. داداشی رودباری، عباسعلی. اکبری ازیرانی، طیبه. کرمی، جمال. (۱۳۹۸). کارایی مدل HadGEM2-ES در ارزیابی ناهنجاری های فصلی

- Engelbrecht, F., Guiot, J., Hijioka, Y., & Mehrotra, S. (2018). Impacts of  $1.5^{\circ}\text{C}$  of global warming on natural and human systems. Raspoloživo Na: [Https://Www.Ipcc.Ch/Site/Assets/Uploads/Sites/2/2019/05/SR15\\_Chapter3\\_Low\\_Res.Pdf](Https://Www.Ipcc.Ch/Site/Assets/Uploads/Sites/2/2019/05/SR15_Chapter3_Low_Res.Pdf) (Pristup 8.7. 2019.).
12. Casanueva, A., Herrera, S., Fernández, J., & Gutiérrez, J.M. (2016). Towards a fair comparison of statistical and dynamical downscaling in the framework of the EURO-CORDEX initiative. *Climatic Change*, 137(3), 411–426. <https://doi.org/10.1007/s10584-016-1683-4>
13. Castaño-Sánchez, A., Hose, G.C., & Reboleira, A.S.P.S. (2020). Salinity and temperature increase impact groundwater crustaceans. *Scientific Reports*, 10(1), 12328. <https://doi.org/10.1038/s41598-020-69050-7>
14. Chai, T., & Draxler, R.R. (2014). Root mean square error (RMSE) or mean absolute error (MAE)?—Arguments against avoiding RMSE in the literature. *Geoscientific Model Development*, 7(3), 1247–1250.
15. Cline, W.R. (2008). Global Warming and Agriculture. *Finance & Development*, 0045(001), A007. <https://doi.org/10.5089/9781451922349.022.A007>
16. Daneshvar, M.R.M., Ebrahimi, M., & Nejadsoleymani, H. (2019). An overview of climate change in Iran: facts and statistics. *Environmental Systems Research*, 8(1), 1–10.
17. Doulabian, S., Golian, S., Toosi, A.S., & Murphy, C. (2021). Evaluating the effects of climate change on precipitation and temperature for Iran using RCP scenarios. *Journal of Water and Climate Change*, 12(1), 166–184.
18. Fallahi, M., & Akbary, M. (2020). Impacts of Global Warming on Extreme Temperatures in west of Iran. *Climate Change Research*, 1(4), 11–19.
19. Fan, X., Jiang, L., & Gou, J. (2021). Statistical downscaling and projection of future temperatures across the Loess Plateau, China. *Weather and Climate Extremes*, 32, 100328.
- بیشینه ایران در دوره گرم سال به منظور شناسایی دوره گرم و سرد. *جغرافیا و مخاطرات محیطی*, ۷(۳)، ۱۶۱–۱۸۷.
۳. زرین، آذر. داداشی روباری، عباسعلی. (۱۳۹۹). پیش‌نگری چشم‌انداز بلندمدت دمای آینده ایران مبتنی بر برونداد پژوهه مقایسه مدل‌های جفت‌شده فاز ششم (CMIP6). *فیزیک زمین و فضا*, ۴۶(۳)، ۵۸۲–۶۰۲.
۴. زرین، آذر. داداشی روباری، عباسعلی. صالح آبادی، نرگس. (۱۳۹۹). بررسی بی هنجاری و روند دمای ایران در پهنه‌های مختلف اقلیمی با استفاده از مدل‌های جفت‌شده پژوهه مقایسه متقابل مرحله ششم (CMIP6). *مجله ژئوفیزیک ایران*, ۱۵(۱)، ۳۵–۵۴.
۵. زهره، وندی. حسن، خورشید دوست. علی‌محمد. ساری صراف، بهروز. (۱۳۹۹). چشم‌انداز تغییرات اقلیمی در غرب ایران براساس سناریوهای واداشت تابشی و ریزمقیاس‌گردانی مدل آماری SDSM، *جغرافیا برنامه ریزی منطقه‌ای*, ۱۱(۱)، ۱۴–۱.
۶. فغانی، میثم. فیتچت، جنیفر. (۱۳۹۹). دورنمای اثر گرمایش جهانی بر دگرگونی الگوی زمانی‌مکانی رخداد استرس حرارتی ایران. *پژوهش‌های تغییرات آب و هوايی*, ۱(۳)، ۱–۲۰.
۷. لطفی، محمد. کمالی، غلامعلی. مشکوتی، امیرحسین. ورشاویان، وحید. (۱۴۰۰). پیش‌نگری دمای بیشینه با استفاده از مدل‌های جهانی اقلیم تحت سناریوهای SDSM و LARS-WG و ریزمقیاس‌گردانی مدل‌های در غرب کشور. *فصلنامه جغرافیای طبیعی*, ۱۳(۱)، ۱۱۵–۱۳۰.
8. Al-Mukhtar, M., & Qasim, M. (2019). Future predictions of precipitation and temperature in Iraq using the statistical downscaling model. *Arabian Journal of Geosciences*, 12(2), 25. <https://doi.org/10.1007/s12517-018-4187-x>
9. Baghanam, A.H., Nourani, V., Sheikhbabaei, A., & Seifi, A.J. (2020). Statistical downscaling and projection of future temperature change for Tabriz city, Iran. *IOP Conference Series: Earth and Environmental Science*, 491(1), 12009.
10. Benesty, J., Chen, J., Huang, Y., & Cohen, I. (2009). Pearson correlation coefficient. In *Noise reduction in speech processing* (pp. 1–4). Springer.
11. Bindi, M., Brown, S., Camilloni, I., Diedhiou, A., Djalante, R., Ebi, K.,

- changes in climatic parameters using CanESM2 model based on Rcp scenarios (case study): Lar dam basin. *Ain Shams Engineering Journal*, 12(1), 445–454.
29. Jing, M., Kumar, R., Heße, F., Thober, S., Rakovec, O., Samaniego, L., & Attinger, S. (2020). Assessing the response of groundwater quantity and travel time distribution to 1.5, 2, and 3 C global warms in a mesoscale central German basin. *Hydrology and Earth System Sciences*, 24(3), 1511–1526.
30. Kurane, I. (2010). The Effect of Global Warming on Infectious Diseases. *Osong Public Health and Research Perspectives*, 1(1), 4–9. <https://doi.org/10.1016/j.phrp.2010.12.004>
31. Leal Filho, W., Balogun, A.-L., Olayide, O.E., Azeiteiro, U.M., Ayal, D.Y., Muñoz, P.D.C., Nagy, G.J., Bynoe, P., Oguge, O., & Toamukum, N.Y. (2019). Assessing the impacts of climate change in cities and their adaptive capacity: towards transformative approaches to climate change adaptation and poverty reduction in urban areas in a set of developing countries. *Science of the Total Environment*, 692, 1175–1190.
32. Moriasi, D.N., Arnold, J.G., Van Liew, M.W., Bingner, R.L., Harmel, R.D., & Veith, T.L. (2007). Model evaluation guidelines for systematic quantification of accuracy in watershed simulations. *Transactions of the ASABE*, 50(3), 885–900.
33. Nerem, R. S., Beckley, B. D., Fasullo, J.T., Hamlington, B.D., Masters, D., & Mitchum, G.T. (2018). Climate-change-driven accelerated sea-level rise detected in the altimeter era. *Proceedings of the National Academy of Sciences*, 115(9), 2022–2025.
34. Reidmiller, D.R., Avery, C.W., Easterling, D.R., Kunkel, K.E., Lewis, K.L.M., Maycock, T.K., & Stewart, B.C. (2017). Impacts, risks, and adaptation in the United States: Fourth national climate assessment, volume II.
35. Salzmann, M. (2016). Global warming without global mean precipitation increases? *Science Advances*, 2(6), e1501572.
20. Gagnon, S., Singh, B., Rousselle, J., & Roy, L. (2005). An Application of the Statistical DownScaling Model (SDSM) to Simulate Climatic Data for Streamflow Modelling in Québec. *Canadian Water Resources Journal / Revue Canadienne Des Ressources Hydriques*, 30(4), 297–314.
21. Gebeyehu Ayele, E., Chunju, Z., Yihong, Z., & yang, Z. (2019). Assessment of future temperature change scenario by statistical downscaling model (Canesm2). *International Journal of Current Research*, 11, 100–109. <https://doi.org/10.24941/ijcr.33786.01.2019>
22. Goodarzi, M., Mahdian, M.H., & Qermezcheshmeh, B. (2021). Assessment of climate change using SDSM downscaling Model (A case study: West of Iran). *Water Harvesting Research*, 4(1), 29–39.
23. Hassan, W.H., & Nile, B.K. (2021). Climate change and predicting future temperature in Iraq using CanESM<sub>2</sub> and HadCM<sub>3</sub> modeling. *Modeling Earth Systems and Environment*, 7(2), 737–748.
24. House, the white. (2021). Report on the Impact of Climate Change on Migration (October 2021). Government of the United States of America.
25. IPCC, (2013). Summary for Policymakers. In: *Climate Change 2013: The Physical Science Basis. Contribution of Working Group I to the Fifth Assessment Report of the Intergovernmental Panel on Climate Change* [Stocker, T.F., D. Qin, G.-K. Plattner, M. Tignor, S.K. Allen, J. Boschung, A. Nauels, Y. Xia, V. Bex and P.M. Midgley (eds.)]. Cambridge University Press, Cambridge, United Kingdom and New York, NY, USA.
27. Ines, A.V.M., & Hansen, J.W. (2006). Bias correction of daily GCM rainfall for crop simulation studies. *Agricultural and Forest Meteorology*, 138(1), 44–53. <https://doi.org/10.1016/j.agrformet.2006.03.009>
28. Javaherian, M., Ebrahimi, H., & Aminnejad, B. (2021). Prediction of

- climate change impacts. *Environmental Modelling & Software*, 17(2), 145–157.
39. Wilby, Robert L., & Dawson, C.W. (2007). SDSM 4.2-A decision support tool for the assessment of regional climate change impacts. User Manual, 94(1).
40. Wilby, Robert L., & Dawson, C.W. (2013). The statistical downscaling model: insights from one decade of application. *International Journal of Climatology*, 33(7), 1707–1719.
41. Zhang, Z., & Li, J. (2020). Big climate data (pp. 1–18).
36. Siabi, E.K., Kabobah, A.T., Akpoti, K., Anornu, G.K., Amo-Boateng, M., & Nyantakyi, E.K. (2021). Statistical downscaling of global circulation models to assess future climate changes in the Black Volta basin of Ghana. *Environmental Challenges*, 5, 100299.
37. Tabari, H. (2020). Climate change impact on flood and extreme precipitation increases with water availability. *Scientific Reports*, 10(1), 13768.
38. Wilby, R.L., Dawson, C.W., & Barrow, E.M. (2002). Sdsm — a decision support tool for the assessment of regional